

$$\overline{H} = -\frac{zsA}{N} M^2 = -NzsAy^2. \quad (6)$$

Этот расчёт проведён в т. н. приближении энергетических центров тяжести [4]. Из сравнения (6) и (2) видно, что параметр  $A'$  квазиклассич. теории определяется обменной энергией  $A$ , т. е.  $A' = zsA$ . Для определения величины и знака  $A$  нужна более точная теория, к-рую дают, напр., микроскопич. расчёты обменных взаимодействий в металлах методом функционала спиновой плотности, исходя лишь из кристаллич. структуры и порядкового номера в таблице Менделеева [11]. Используются также нек-рые усложнения гейзенберговского гамильтониана, напр., с помощью учёта неск. типов обменных интегралов между разл. соседями в узлах решётки (подробнее см. Спиновый гамильтониан). При низких  $T$ , используя метод вторичного квантования, удалось провести более точный расчёт энергетич. спектра ферромагнетика. Ограничиваюсь состояниями, близкими к основному (при 0 К), в к-ром спины всех магнитно-активных электронов взаимно параллельны, можно найти собств. значения оператора (5), имеющие вид суммы энергий отд. элементарных возбуждений (квазичастич.) — спиновых волн, или ферромагнитонов. Каждый ферромагнитон несёт с собой магн. возбуждение системы и уменьшает  $M_\infty$  на величину магн. момента одного узла решётки. С ростом  $T$  возбуждается всё больше спиновых волн. Пока их мало, они образуют идеальный газ бозеевских квазичастич. (см. Бозоны); с ростом  $T$  их число растёт  $\sim T^{3/2}$ ; поэтому температурная зависимость  $M_\infty$  вблизи 0 К имеет вид

$$M_\infty(T) = M_\infty(0)[1 - \alpha(T/T_c)^{3/2}],$$

где  $M_\infty(0)$  — предельное значение  $M_\infty(T)$  при 0 К (см. Блоха закон). Знание спектра спиновых волн важно для изучения явления ферромагнитного резонанса, распространения упругих колебаний в ферромагнетике и всего комплекса физ. свойств при низких темп-рах.

Применение квантово-статистич. методов (см. Грина функция, Матрица плотности) открывает новые возможности для построения более точной микроскопич. теории Ф. В частности, в рамках локализов. модели из этой теории следует, что при 0 К ср. атомный магн. момент, приходящийся на один узел, должен быть кратен  $\mu_B$ . Однако опыт показывает, что особенно в  $d$ -металлах, сплавах и соединениях эта величина заметно меньше момента изолир. атома (иона) и, кроме того, она существенно дробная (в единицах  $\mu_B$ ). Это противоречие модели локализов. спинов с опытом связано с пренебрежением коллективизацией  $3d$ -электронов в металле, а также обменным  $s-d(f)$ -взаимодействием.

В рамках зонной модели Ф. эта трудность в принципе исчезает (см. Зонный магнетизм). Ф. в ферми-газе возможен при спонтанном «сдвиге» на  $\delta\mathcal{E}$  энергии уровней в подполосе для «правых» и «левых» спинов, обусловленном обменным взаимодействием (рис. 4). При таком сдвиге, для того чтобы в равновесии ферми-энергия  $\mathcal{E}_F$  в под-

полосах была одинаковой, надо  $v$  электронов на атом перенести из левой подполосы в правую. Это увеличивает кинетич. энергию на атом на величину  $v\delta\mathcal{E}$  (если число  $v$  не очень велико). Обменная энергия определяется связью пар электронов; она пропорц. квадрату числа электронов в каждой подполосе (числа электронов в единице объёма в правой и левой подполосах равны  $n_+$  и  $n_-$ ). В параметрич. состоянии  $n_+ = n_- = n/2$ . Изменение энергии системы при переходе из пара- в ферромагн. состояние равно

$$v\delta\mathcal{E} - \frac{1}{n} \left[ \left( \frac{n}{2} + nv \right)^2 - \left( \frac{n}{2} - nv \right)^2 - 2 \left( \frac{n}{2} \right)^2 \right] \epsilon_{ob} = \\ = v\delta\mathcal{E} - 2nv^2 \epsilon_{ob}, \quad (7)$$

где  $\epsilon_{ob}$  — ср. обменная энергия на пару электронов. Отношение  $nv/\delta\mathcal{E} = n\mathcal{E}_F$  определяет плотность электронных уровней (рис. 4) около ферми-энергии  $\mathcal{E}_F$ . Если ввести безразмерный параметр  $\eta = 2v\epsilon_{ob}/\delta\mathcal{E} = 2\epsilon_{ob}(\mathcal{E}_F)/n$ , то из (7) следует, что при  $\eta > 1$  в равновесии имеет место Ф., а при  $\eta < 1$  — параметризм. Условие, или критерий, для Ф. ( $\eta > 1$ ) легко выполняется в металлах с большими плотностями состояния при  $\mathcal{E}_F$  и большей энергией  $\epsilon_{ob}$ . Из рис. 4 видно, что ср. атомный момент отнюдь не должен быть целочисленным в единицах  $\mu_B$  и равняться его значению для изолир. атома (иона).

Недостатком зонной модели является неучёт корреляц. энергии, к-рая может существенно изменить все количества и даже качеств. оценки приведённого расчёта (напр., критерий Ф.). Получены и более точные результаты, напр. при использовании метода расчёта с функционалом спиновой плотности. Помимо этого, зонная модель Ф. получила существ. развитие в работах, начатых Мориа [22], в к-рых был произведён учёт спиновых флуктуаций в ферромагн. системе электронов проводимости металлов и сплавов.

$s-d(f)$ -обменная модель позволяет учесть не только пассивную роль электронов проводимости (напр., их подмагничивание со стороны «магнитных»  $f$ -слоёв в РЗМ-металлах), но и их активное участие в самом процессе установления Ф. благодаря косвенному РККИ-взаимодействию. Качественно это можно описать так. Если ср. относит. намагниченность  $d(f)$ -электронов на узел равна  $m_{d(f)}$ , а электронов проводимости —  $m_s$ , то энергия  $s-d(f)$ -обмена на узел равна  $A_{sd(f)} m_{d(f)} m_s$ , где  $A_{sd(f)}$  — параметр  $s-d(f)$ -связи. Добавка к ферми-энергии, связанная с намагниченностью электронов проводимости, равна  $(1/2) A_\Phi m_s^2$ , где  $A_\Phi = N\mu_B^2/\chi_P$  и  $\chi_P = 2\mu_B^2 n(\mathcal{E}_F)$  — спиновая параметрич. восприимчивость (см. Паули параметризм). При квадратичном законе дисперсии электронов  $\chi_P \approx N\mu_B^2/\mathcal{E}_F$ , так что  $A_\Phi \sim \mathcal{E}_F$ . Полная энергия на узел, зависящая от  $m_{d(f)}$  и  $m_s$ , равна

$$\mathcal{E}(m_{d(f)}, m_s) = -A_{sd(f)} m_{d(f)} m_s + \frac{1}{2} A_\Phi m_s^2. \quad (8)$$

Энтропия сильно вырожденного газа электронов проводимости в металлах очень мала; поэтому равновесные значения  $m_{d(f)}$  и  $m_s$  находят из условия минимума энергии (8) при условиях:  $|m_s| \leq m_{s\max}$  и  $|m_{d(f)}| \leq m_{d(f)\max}$ . Одно из возможных решений имеет вид

$$m_s = \frac{A_{sd(f)}}{A_\Phi} m_{d(f)}, \quad m_{d(f)} = m_{d(f)\max}. \quad (9)$$

Отношение  $A_{sd(f)}/A_\Phi \sim 0.1 \div 0.01$ ;  $m_s$  составляет  $\sim 1 \div 10\%$  от  $m_{d(f)} + m_s$ . Подстановка (9) в (8) даёт

$$\mathcal{E}_{\min}(m_{d(f)}) = -(1/2)(A_{sd(f)}^2/A_\Phi) m_{d(f)}^2.$$

Т. о., эф. параметр косвенного обмена типа РККИ между внутренними  $d(f)$ -электронами, взаимодействующими с электронами проводимости, равен

$$A_{\text{косв. РККИ}} = A_{sd(f)}^2/A_\Phi \approx A_{sd(f)}^2/\mathcal{E}_F. \quad (10)$$

В данном приближении он всегда  $> 0$ , т. е. способствует Ф. Более точный расчёт (10) показывает, что обмен типа РККИ сравнительно дальнодействующий ( $\sim 1/r^3$ ) и носит осциллирующий знакопеременный характер.

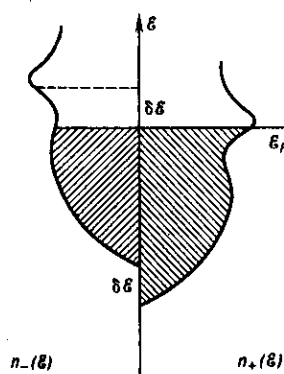


Рис. 4. Схематическое изображение смещения на  $\delta\mathcal{E}$  кривых плотностей электронных состояний  $n_\pm(\mathcal{E})$  для «правых» (+) и «левых» (-) спинов, обусловленного обменным взаимодействием, в энергетической полосе проводимости  $d$ -металла;  $\mathcal{E}_F$  — ферми-энергия.